#### Лекция 14.

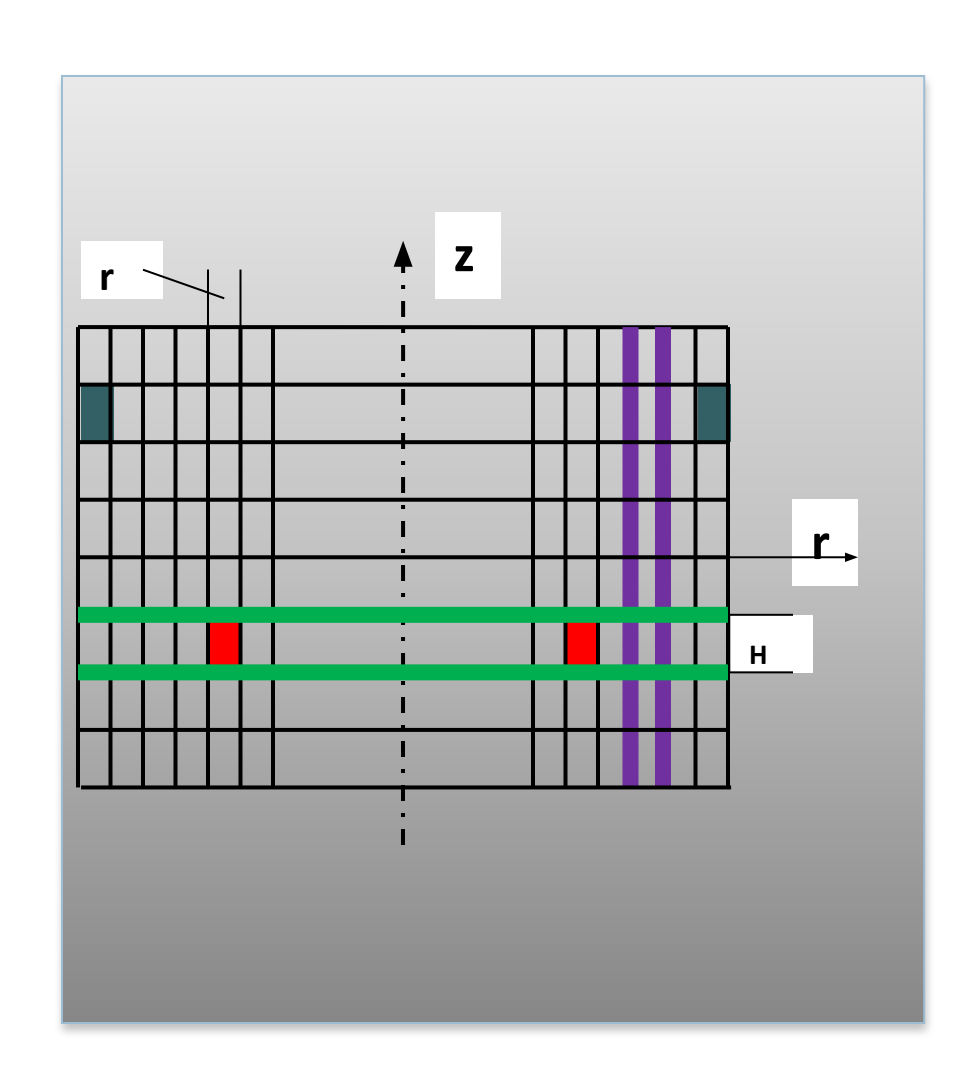
#### Цель.

Познакомить слушателей с методикой представлением системы уравнений тепловых балансов в матричной форме. Отметить, что это представление основывается на предположениях о малых размерах элементов, геометрии рассматриваемой задачи и возможности использования линейных связей между тепловыми потоками и температурой. Рассмотреть матричную форму системы уравнений и представить программу расчета полей температуры методом конечных элементов. Использовать полученные результаты для расчета температурных перепадов в облучаемом образце ядерного топлива из диоксида урана.

#### План.

- 1. Методика представления системы уравнений тепловых балансов в матричной форме.
- 2. Матричная форма системы уравнений тепловых балансов.
- 3. Программа расчетов на ЭВМ.
- 4. Пример расчетов температурных перепадов в облучаемом образце из диоксида урана.





#### Решение задачи методом конечных элементов.

В случае, когда рассматриваемые элементы имеют достаточно малые размеры, температурный градиент в радиальном направлении можно линейным образом аппроксимировать разностью температур элементов T(i) и T(j):

Q = 
$$[T(i)-T(j)] L_{ij} / [(\Delta r_i/2\lambda_i) + (\Delta r_j/2\lambda_j)]$$
 (31)

где

 $L_{ij}$  - протяженность границы между i-ым и j-ым элементами;  $\Delta r_i$ ,  $\Delta r_j$  - линейные размеры i-ым и j-ым элементов;  $\lambda_i$ ,  $\lambda_j$  - коэффициенты теплопроводности i-ым и j-ым элементов.

# Методика представления системы уравнений тепловых балансов в матричной форме.

Сравнивая (29),(30) и (31), находим выражение для ү( i,j) в радиальном направлении:

$$\gamma_{r}(i,j) = L_{ij} \left[ \left( \Delta r_{i} / 2 \lambda_{i} \right) + \left( \Delta r_{j} / 2 \lambda_{j} \right) \right]^{-1}$$
(32)

Аналогичным образом получим выражения для теплового потока в аксиальном направлении:

$$Q = [T(i)-T(j)] L_{ij} / [(\Delta z_i/2\lambda_i) + (\Delta z_j/2\lambda_j)]$$
(33)

и соответственно для  $\gamma_z(i,j)$  в аксиальном направлении:

$$\gamma_{z}(i,j) = L_{ij} \left[ \left( \Delta z_{i}/2\lambda_{i} \right) + \left( \Delta z_{j}/2\lambda_{j} \right) \right]^{-1}$$
(34)

где  $\Delta z_i$  и  $\Delta z_j$  высоты і-ого и ј-ого элементов.

# Методика представления системы уравнений тепловых балансов в матричной форме.

Необходимо отметить, что при выводе соотношения (33) и (34) использовалось условие ортогональности потоков тепла и границ между элементами. Данное условие выполняется для рассматриваемой задачи вследствие симметрии при принятом разбиении на элементы.

Для элементов на боковой поверхности при граничном условии третьего рода имеем:

$$\gamma_{\rm r}(i,c) = L_{\rm ic} \left[ (\Delta r_{\rm i}/2\lambda_{\rm i}) + (1/\alpha_{\rm c}) \right]^{-1}$$
(35)

а при граничном условии первого рода:

$$\gamma_{\rm r}({\rm i,c}) = L_{\rm ic} 2\lambda_{\rm i} / \Delta r_{\rm i}$$
 (36)

где  $\alpha_{\rm c}$  - коэффициент теплоотдачи;  $L_{\rm ic}$  - протяженность границы элемента со средой.

### Матричная форма системы уравнений тепловых балансов.

Система уравнений (28) может быть представлена в матричной форме:

$$[B]{T} = {Qv} + {Q_I}$$

где

[В] - пятидиагональная симметричная матрица, определяющая взаимодействие элементов между собой;

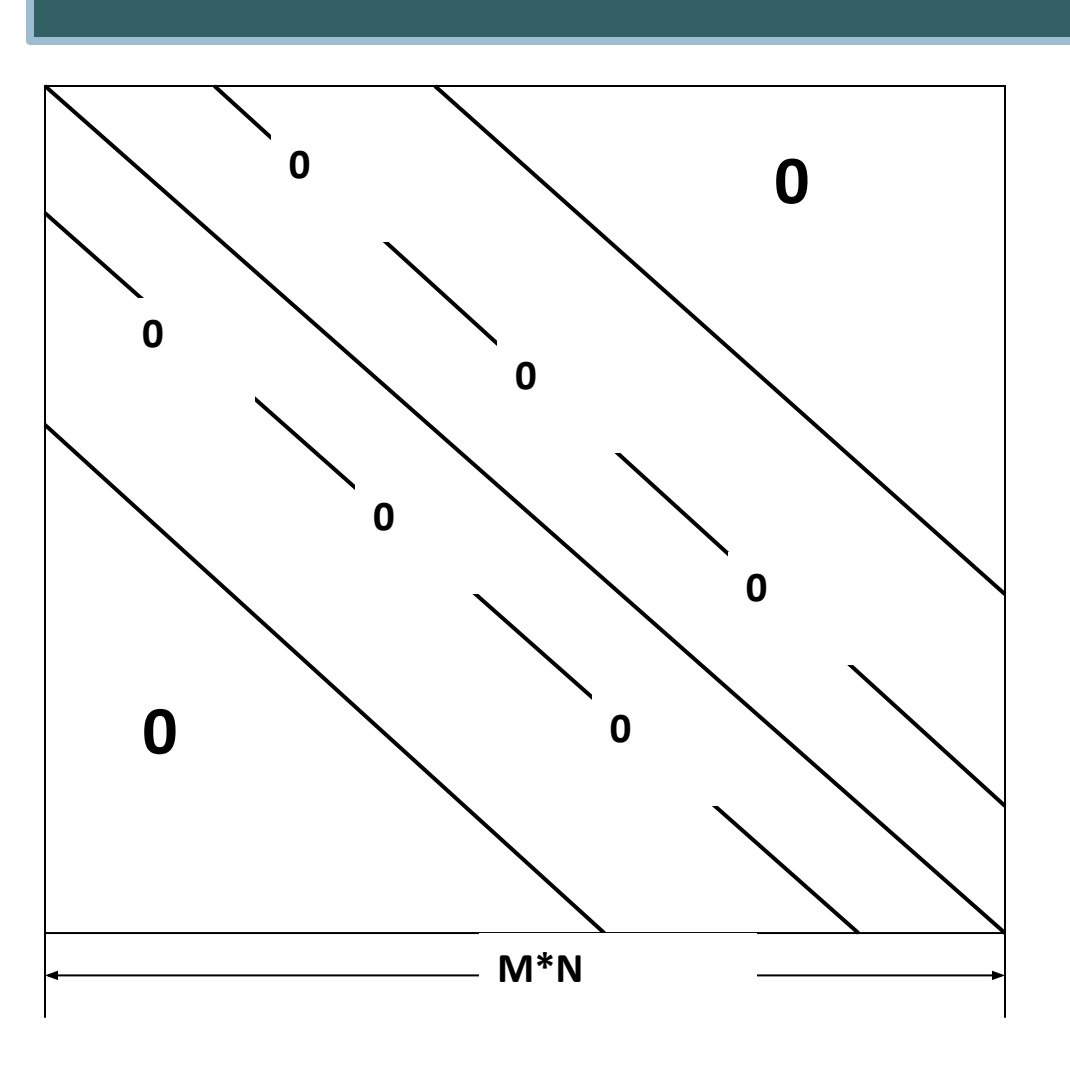
{Т} - вектор температуры элементов;

{Qv} - вектор источников тепла;

 $\{Q_L^{}\}$  - вектор потоков тепла с границ цилиндрического образца.

Матрица [В] является квадратной пятидиагональной матрицей размера (М\*N). Структура ее представлена на рис. 3.8 где сплошными линиями показаны ненулевые элементы.

#### Матричная форма системы уравнений тепловых балансов.



В соответствии с переходом от (28) к (37) элементы матрицы [В] определяются следующим образом.

Элементы, лежащие на неглавных диагоналях, определяются согласно (32) и (34).

Элементы лежащие на главной диагонали, определяются как сумма элементов неглавных диагоналей, взятых с обратным знаком и лежащих на одной строке, минус член, определяющий тепловое взаимодействие с внешней средой, в случае, когда элемент лежит на внешней поверхности.

Для определения вектора температуры элементов получим решение в виде:

$${T} = ({Q_v} + {Q_L}) [B]^{-1}$$

#### Ввод данных ITER=1 $=T_0$ Формирование матрицы [В]и свободных векторов. Приведение матрицы [В] **CHODET** к треугольному виду. **CHOSOL** Определение {Т} $T_0 = T$ T<sub>0</sub>-T<EPS Да Да Нет ITER=ITER+1 ITER<ITER M Нет Конец

Рис. 3.9.Блок-схема программы для определения поля температуры в образце.

#### Основные этапы проведения расчетов на ЭВМ.

Во вводной части программы задается зависимость коэффициента теплопроводности от температуры, начальное приближение для  $\lambda$ , рассчитываются матрица [B],  $\{Qv\}$  и  $\{Q_{I}\}$ .

Далее для реализации треугольного разложения симметричной матрицы [В] применяется подпрограмма " CHODET ".

## Основные этапы проведения расчетов на ЭВМ.

Подпрограмма "SHOSOL" по известному вектору правой части уравнения (37) определяет вектор температуры.

После получения поля температуры происходит его дальнейшее уточнение итерациями с учетом зависимости коэффициента теплопроводности образца от температуры.

Укрупненная блок- схема программы определения вектора температуры для цилиндрических образцов представлена на рис.3.9.

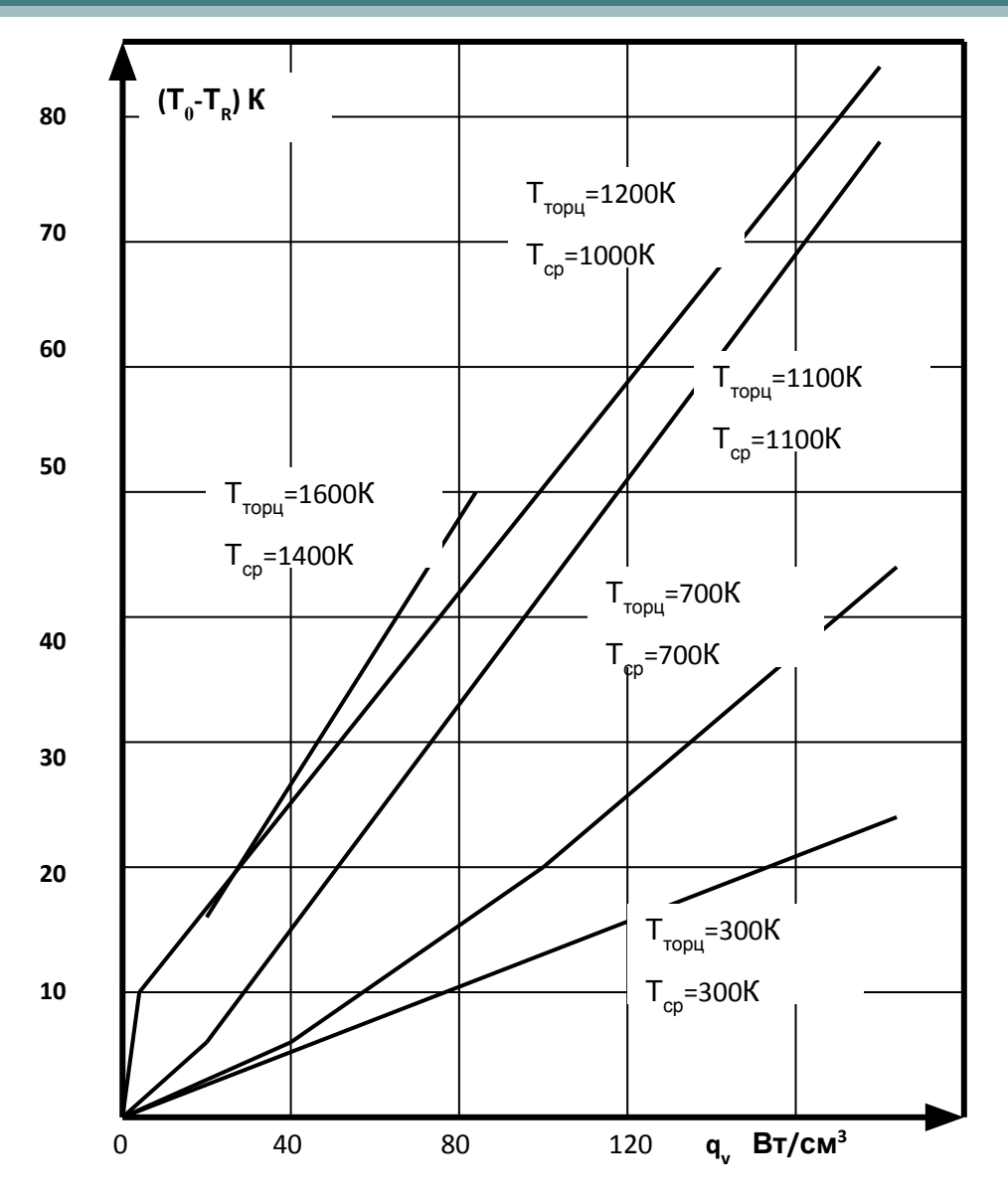


Рис.3.10.Зависимость радиального перепада температуры от плотности тепловыделений в UO<sub>2</sub>.

### Пример расчета температурного поля.

На рис.3.10. показана зависимость максимального радиального перепада температуры в образце из диоксида урана от плотности внутренних источников тепла при различных значениях температур окружающей среды и торцов.

## Пример расчета температурного поля.

На боковой поверхности образца задавались граничные условия третьего рода, а на торцах - первого рода, при этом предполагалось, что температура на торце образца по его сечению постоянна.

Это условие приближает расчеты к ситуации, реализуемой в экспериментальной установке, когда ядерное топливо с низким коэффициентом теплопроводности контактирует с металлическим пуансоном.

Коэффициент теплоотдачи с боковой поверхности образца учитывал теплопроводность через газ-заполнитель, конвекцию и тепловое излучение и рассчитывался по методике, принятой для расчета поля температуры но элементам установки.

При тепловыделениях ~ 60 Вт/см<sup>3</sup>, характерных для эксплуатации установок типа "Крип-ВТ" (высокотемпературные испытания) на ИРТ-МИФИ, перепады составляют величины ~ 30 К, что не может привести к разрушению образца из-за термонапряжений.